

Figura 3.7.9.1. Lokalizacja sondowań magnetotellurycznych na tle mapy topograficznej podkład-Mapa Topograficzna Polski źródło:<http://mapy.geoportal.gov.pl/wss/service/img/guest/TOPO/MapServer/WMSServer> -rejon badań-Książnica, skala 1:25 000

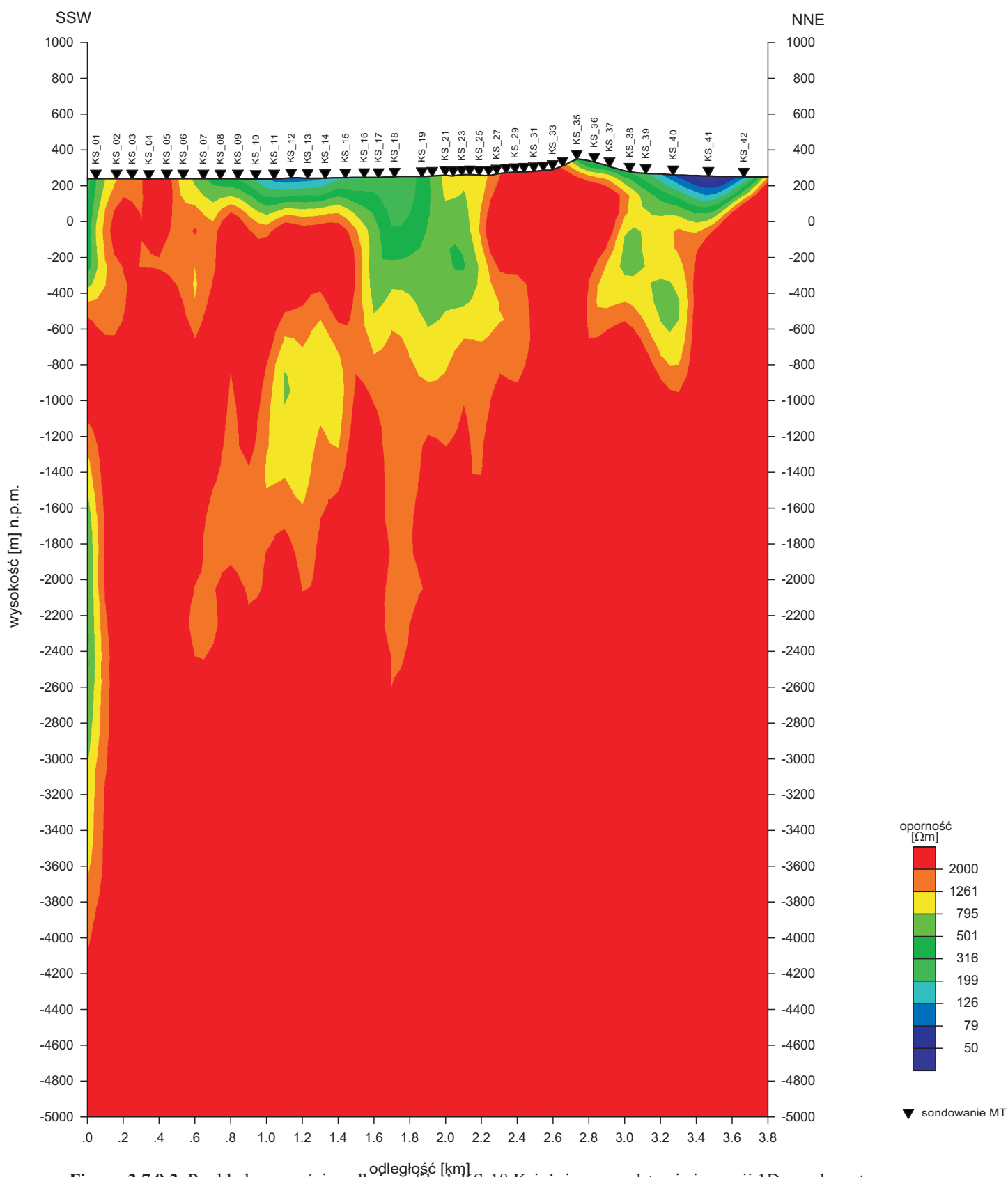


Figura 3.7.9.3. Rozkład oporności wzdłuż profilu I-KS-18 Książnica na podstawie inwersji 1D wg algorytmu Occama dla polaryzacji magnetycznej

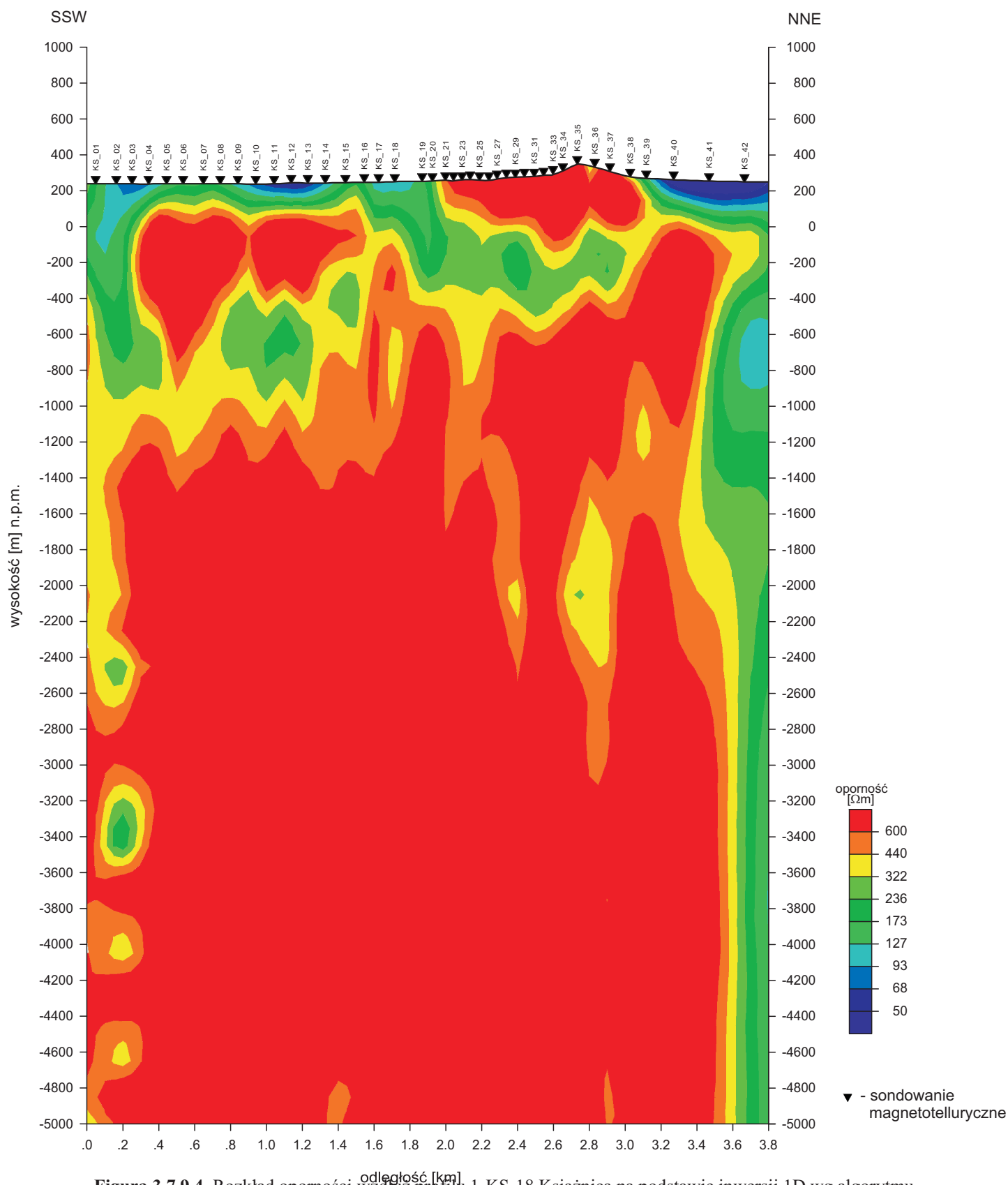


Figura 3.7.9.4. Rozkład oporności wzdłuż profilu 1-KS-18 Książnica na podstawie inwersji 1D wg algorytmu Occama dla polaryzacji elektrycznej

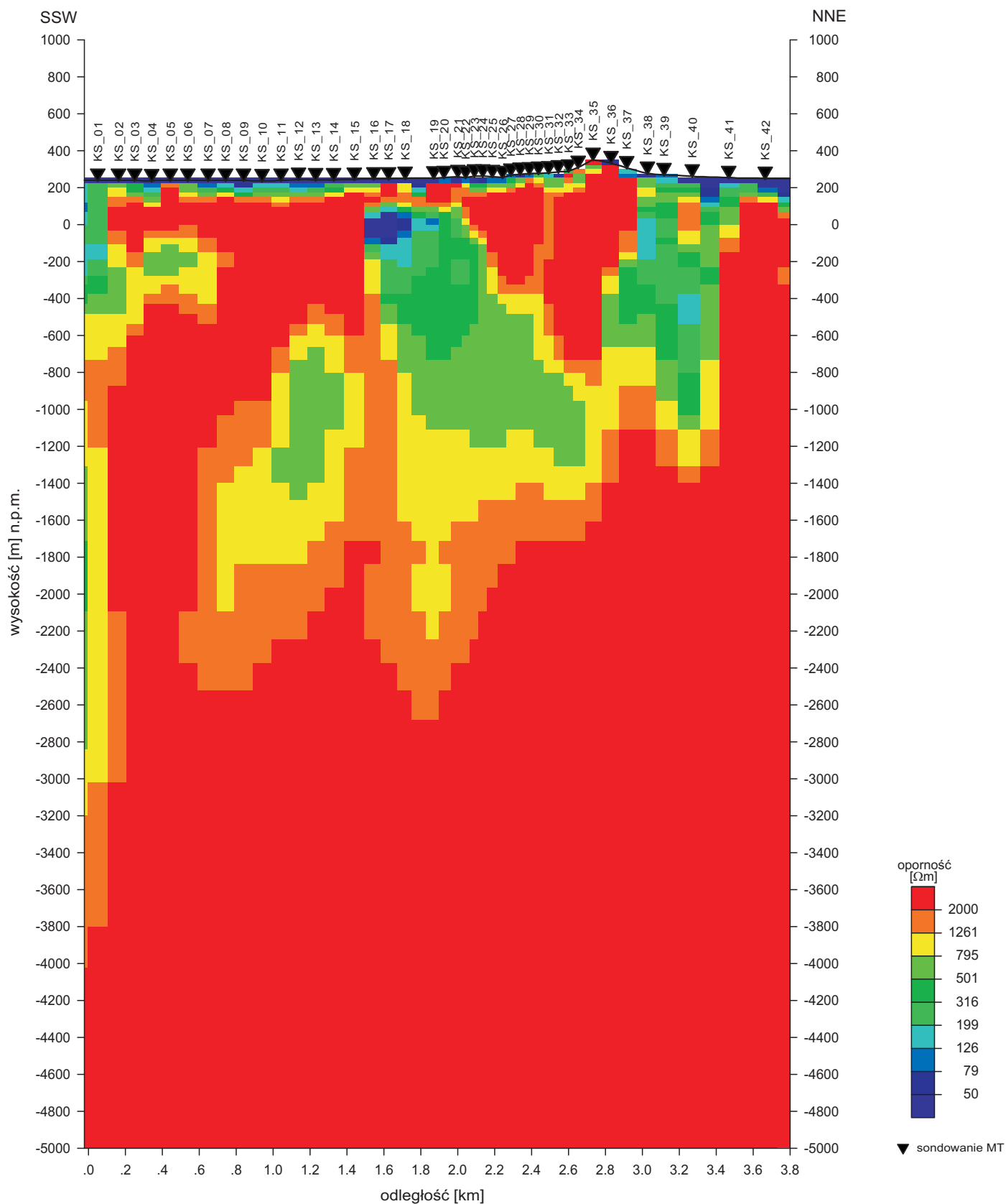


Figura 3.7.9.5. Rozkład oporności wzdłuż profilu 1-KS-18 Książnica na podstawie inwersji 2D wg algorytmu NLCCG

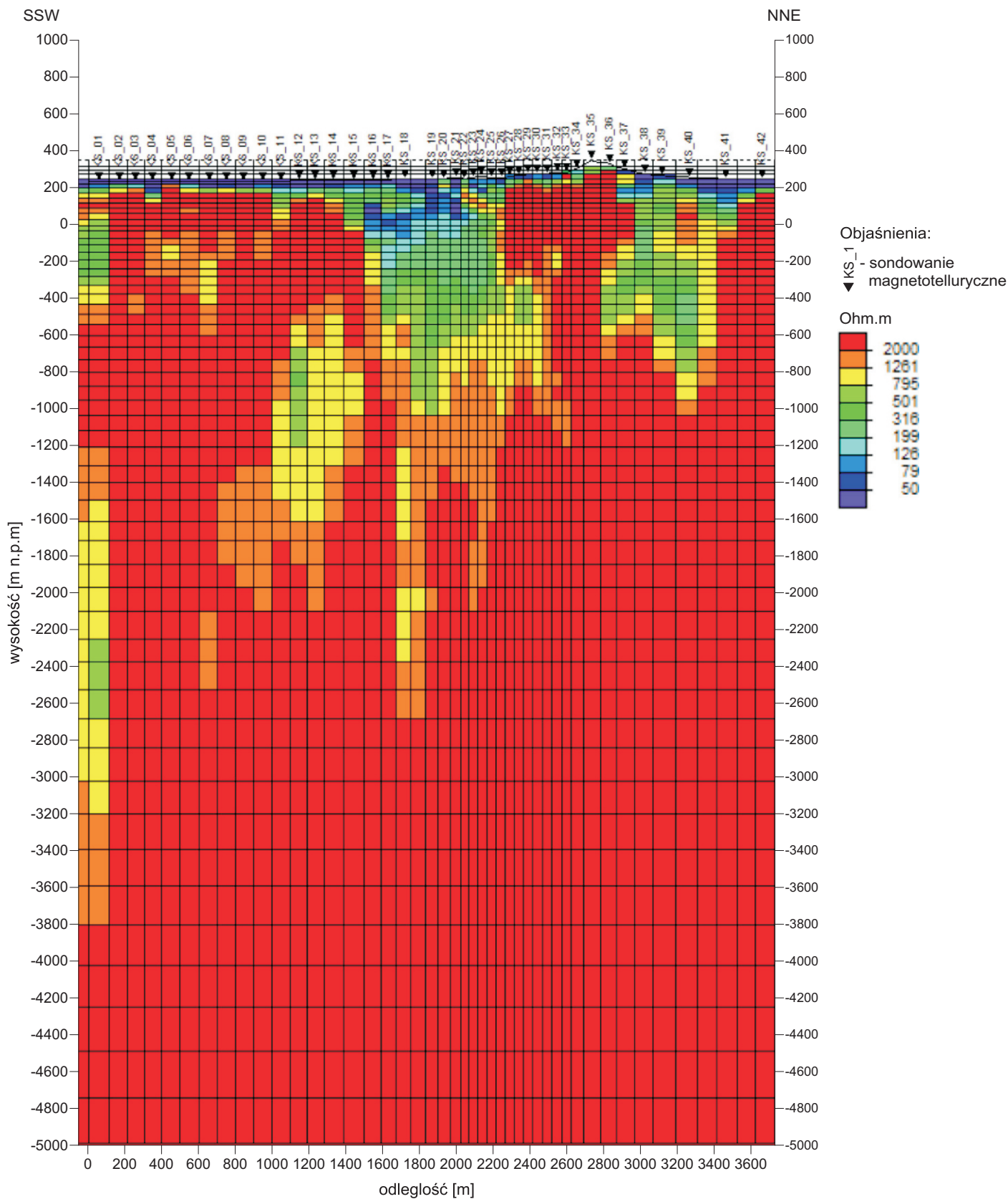


Figura 3.7.9.5a Rozkład oporności wzdłuż profilu 1-KS-18 Książnica na podstawie inwersji 2D wg algorytmu NLCG (iteracja 3)

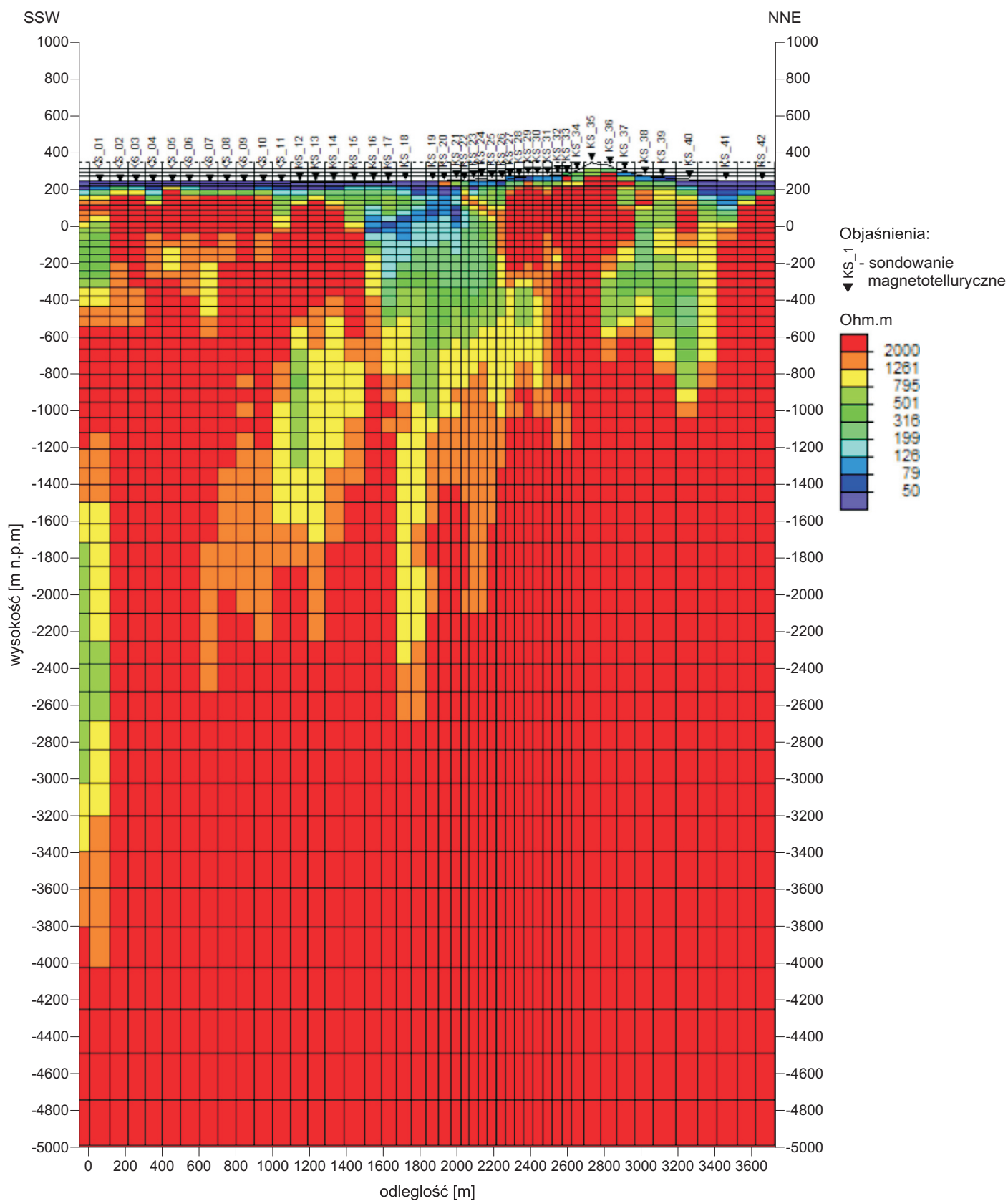


Figura 3.7.9.5b Rozkład oporności wzdłuż profilu 1-KS-18 Książnica na podstawie inwersji 2D wg algorytmu NLGC (iteracja 6)

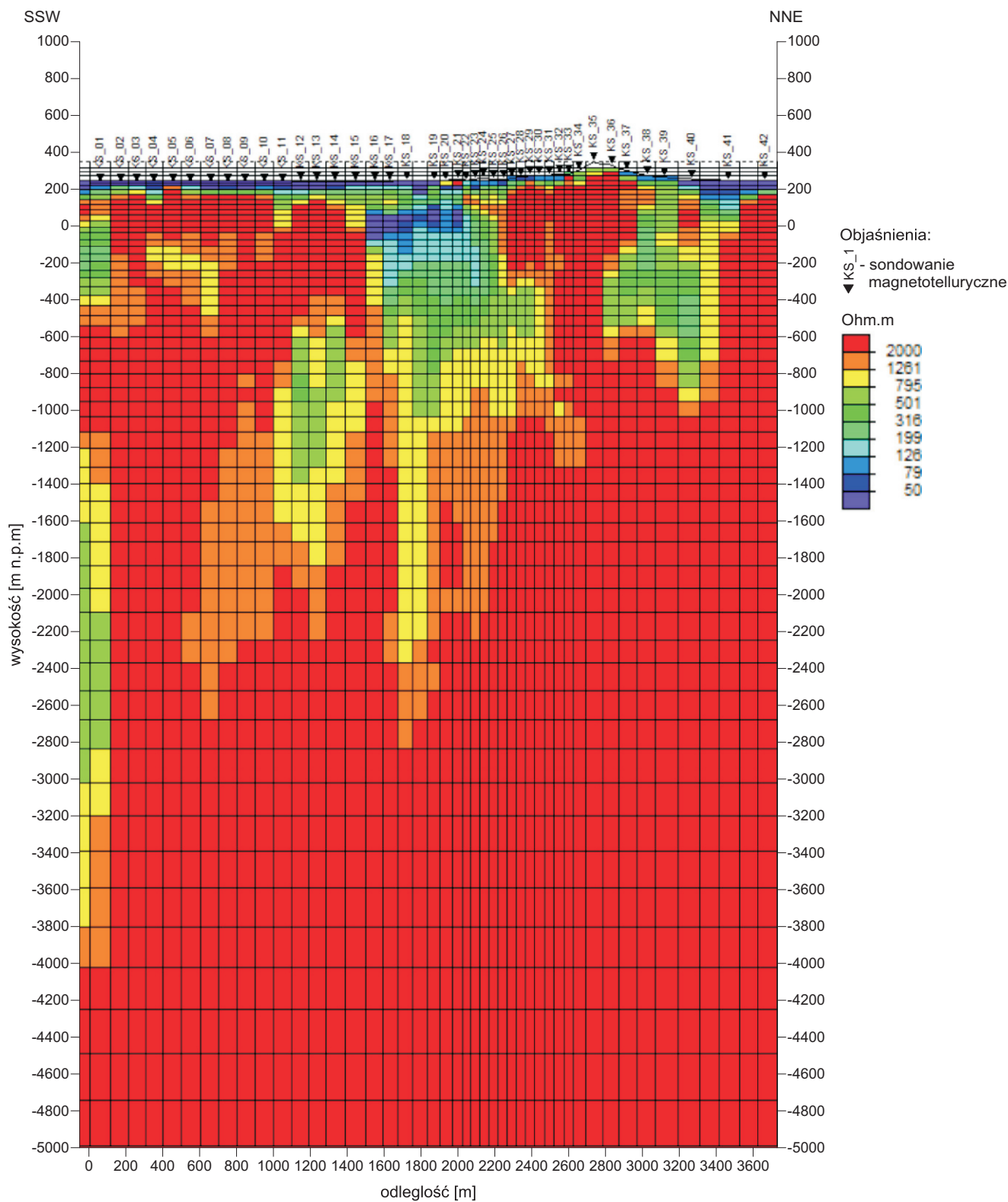


Figura 3.7.9.5c Rozkład oporności wzdłuż profilu 1-KS-18 Książnica na podstawie inwersji 2D wg algorytmu NLCCG (iteracja 9)

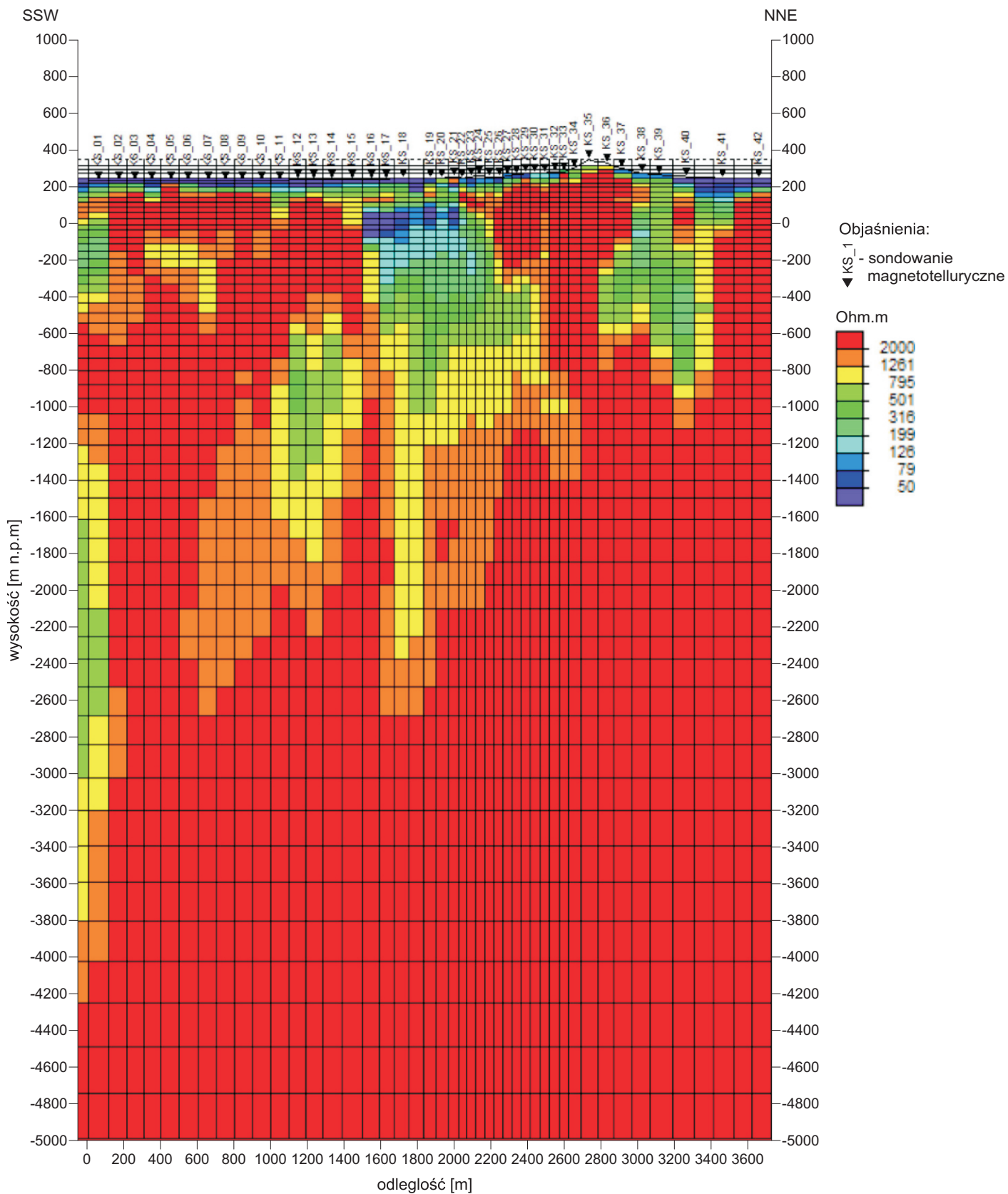


Figura 3.7.9.5d Rozkład oporności wzdłuż profilu 1-KS-18 Książnica na podstawie inwersji 2D wg algorytmu NLCG (iteracja 12)

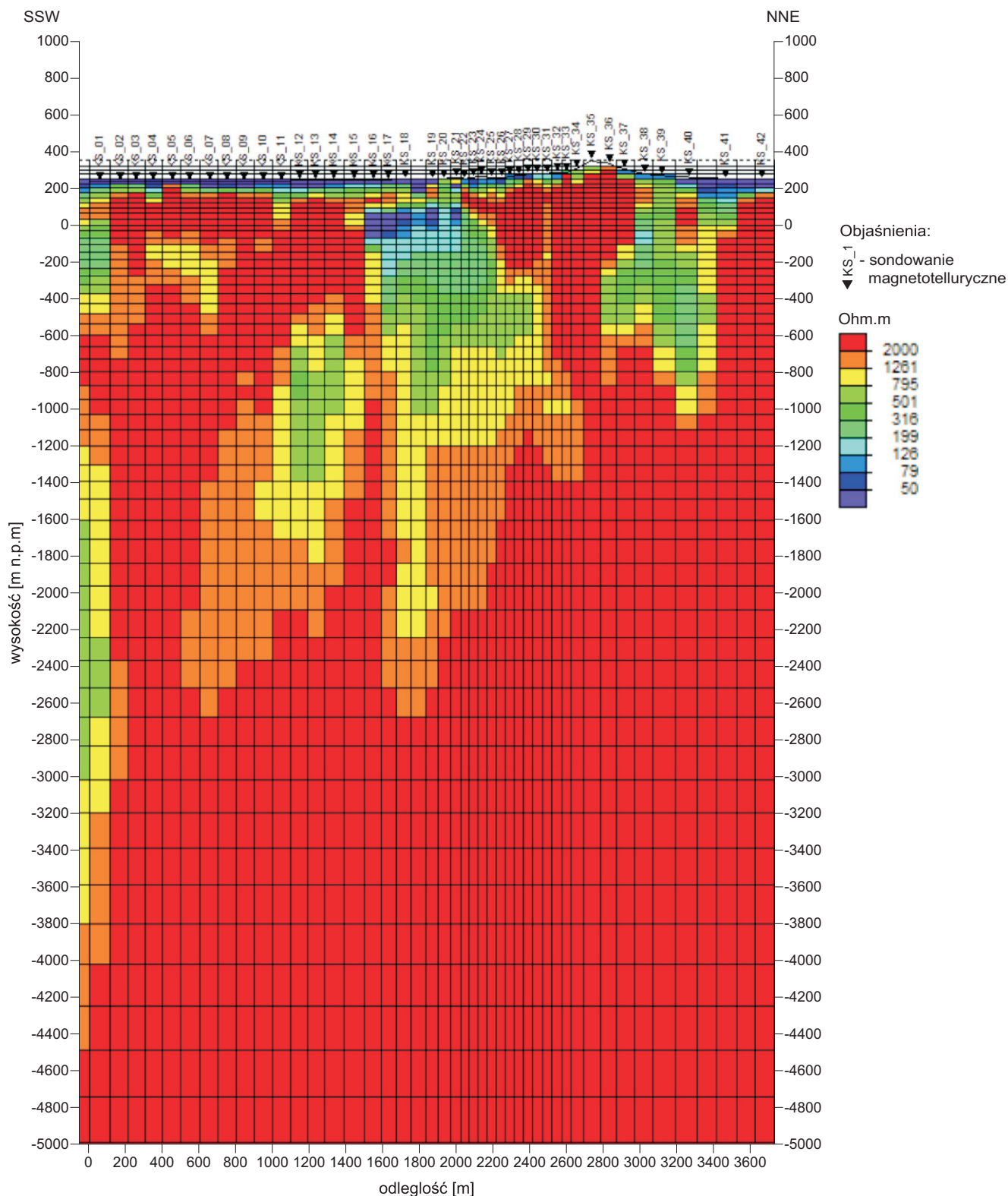


Figura 3.7.9.5e Rozkład oporności wzdłuż profilu 1-KS-18 Książnica na podstawie inwersji 2D wg algorytmu NLCG (iteracja 15)

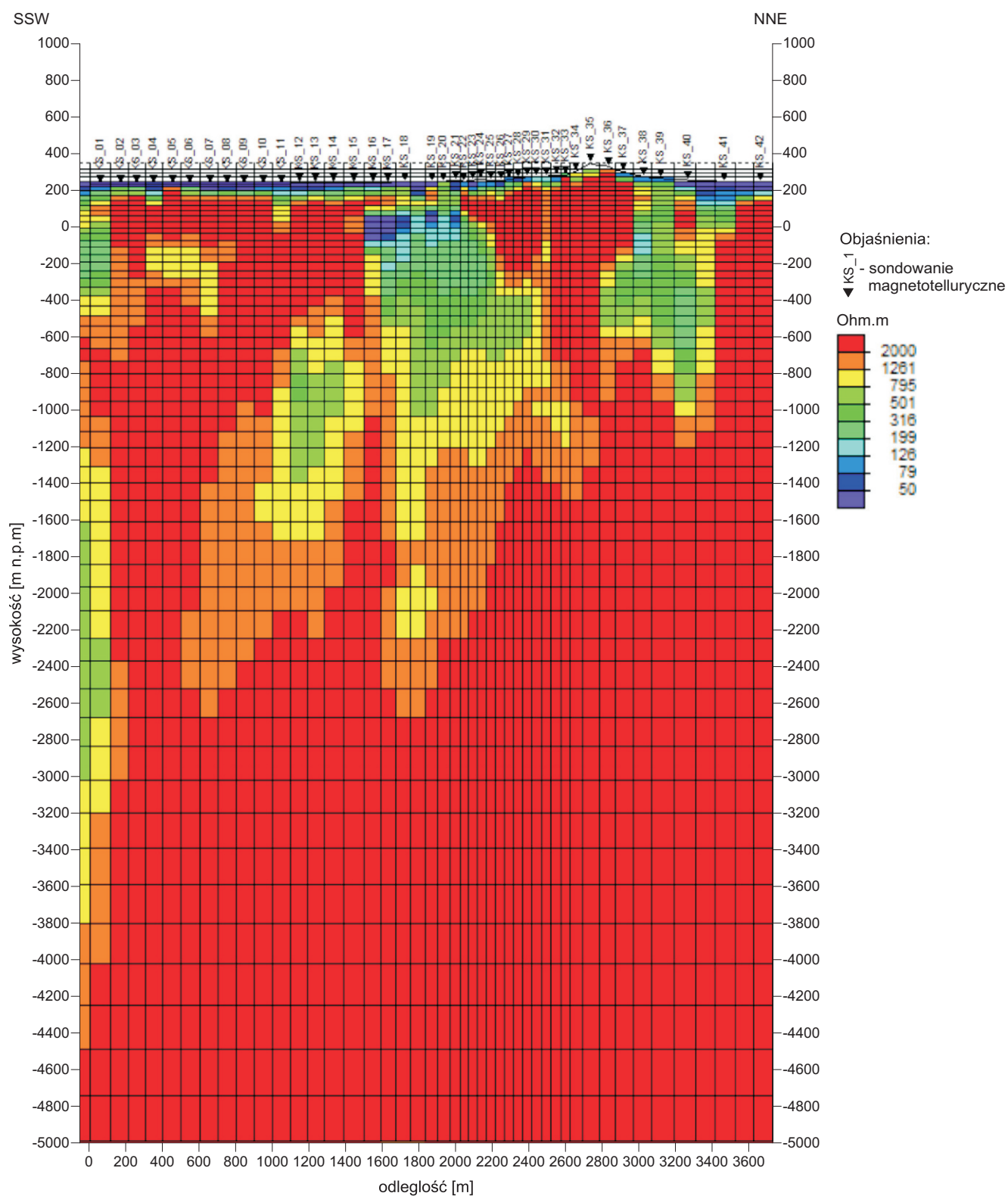


Figura 3.7.9.5f Rozkład oporności wzdłuż profilu 1-KS-18 Książnica na podstawie inwersji 2D wg algorytmu NLCG (iteracja 18)

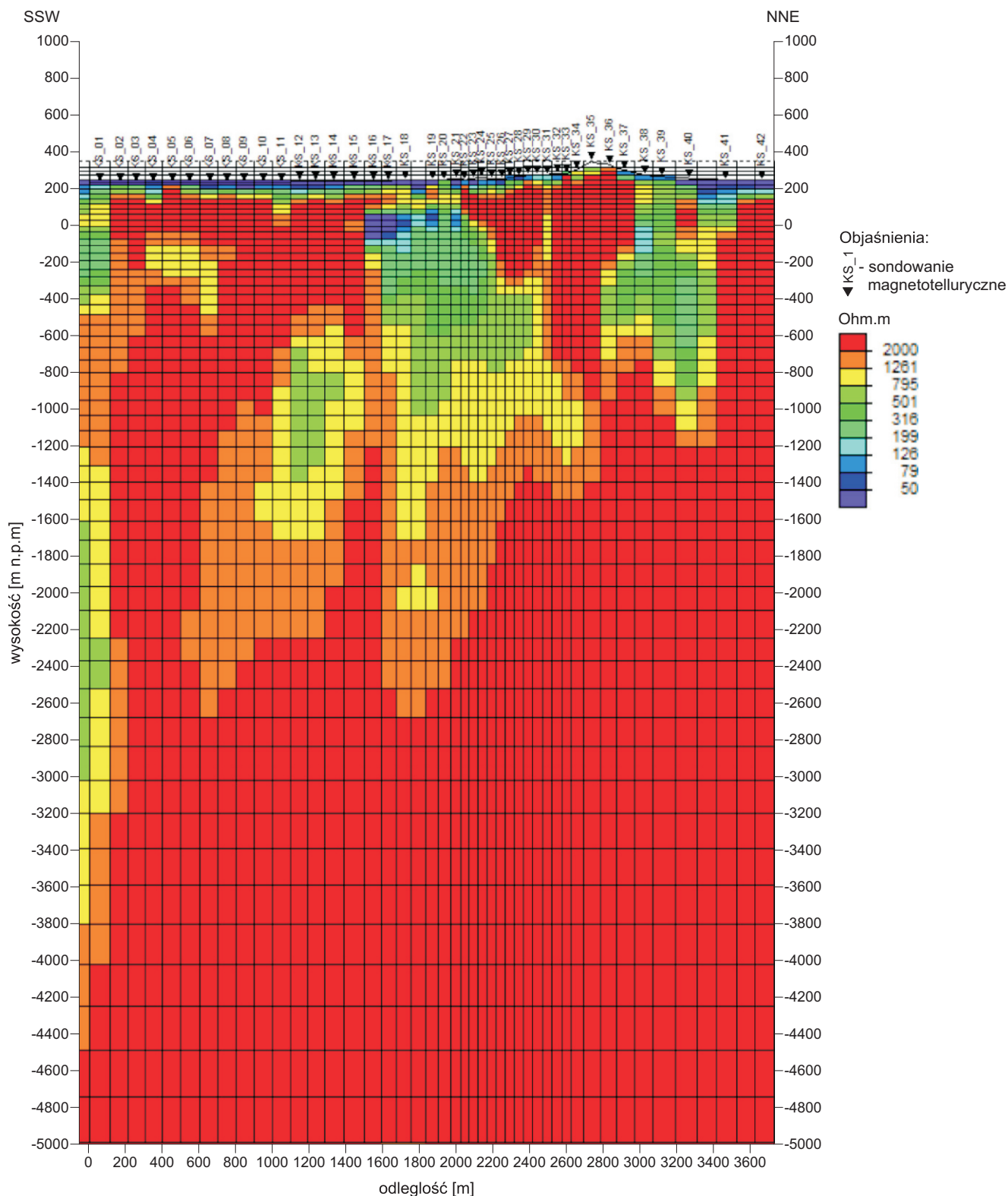


Figura 3.7.9.5g Rozkład oporności wzdłuż profilu 1-KS-18 Książnica na podstawie inwersji 2D wg algorytmu NLCG (iteracja 21)

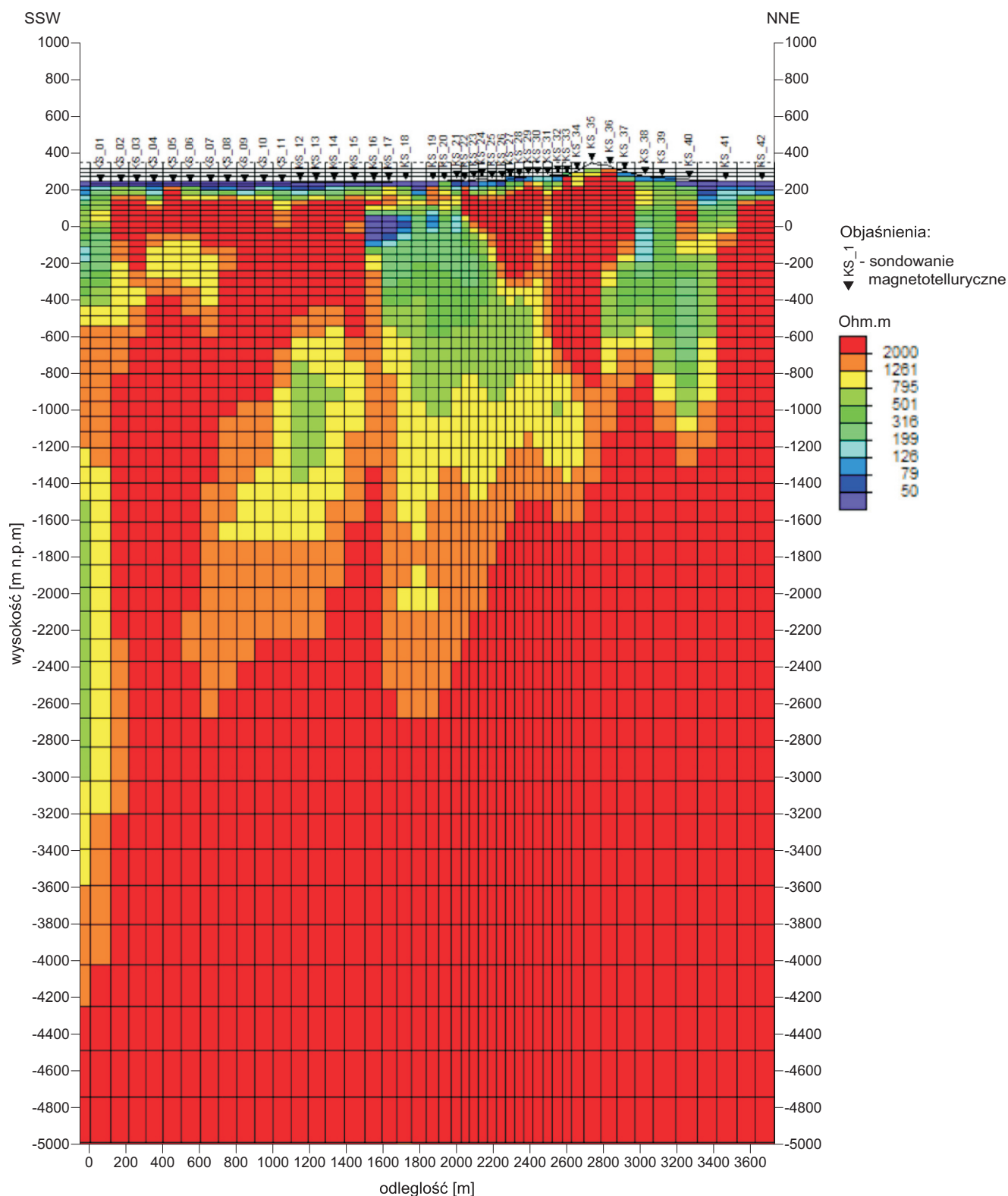


Figura 3.7.9.5h Rozkład oporności wzdłuż profilu 1-KS-18 Książnica na podstawie inwersji 2D wg algorytmu NLCG (iteracja 24)

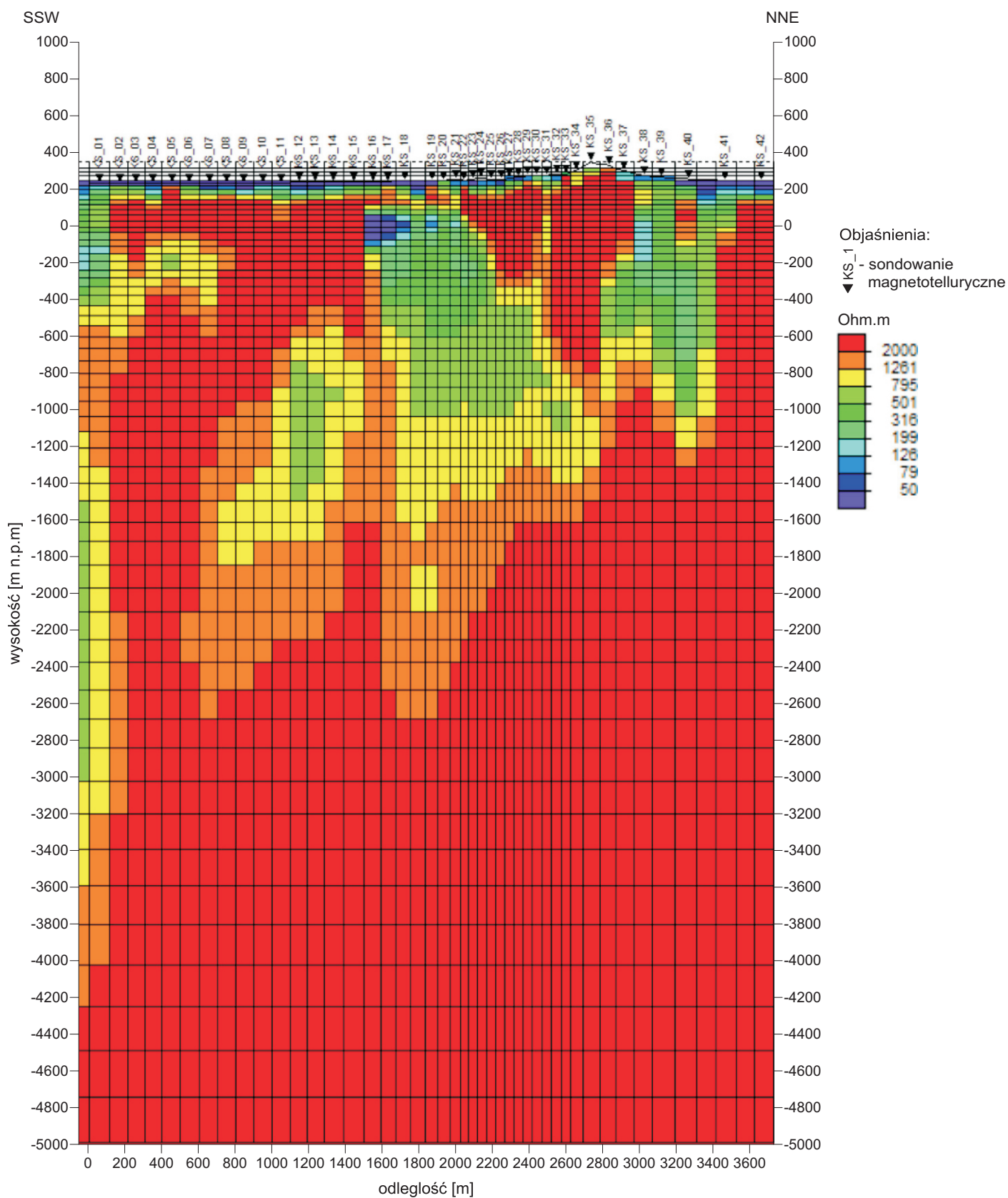


Figura 3.7.9.5i Rozkład oporności wzdłuż profilu 1-KS-18 Książnica na podstawie inwersji 2D wg algorytmu NLCG (iteracja 27)

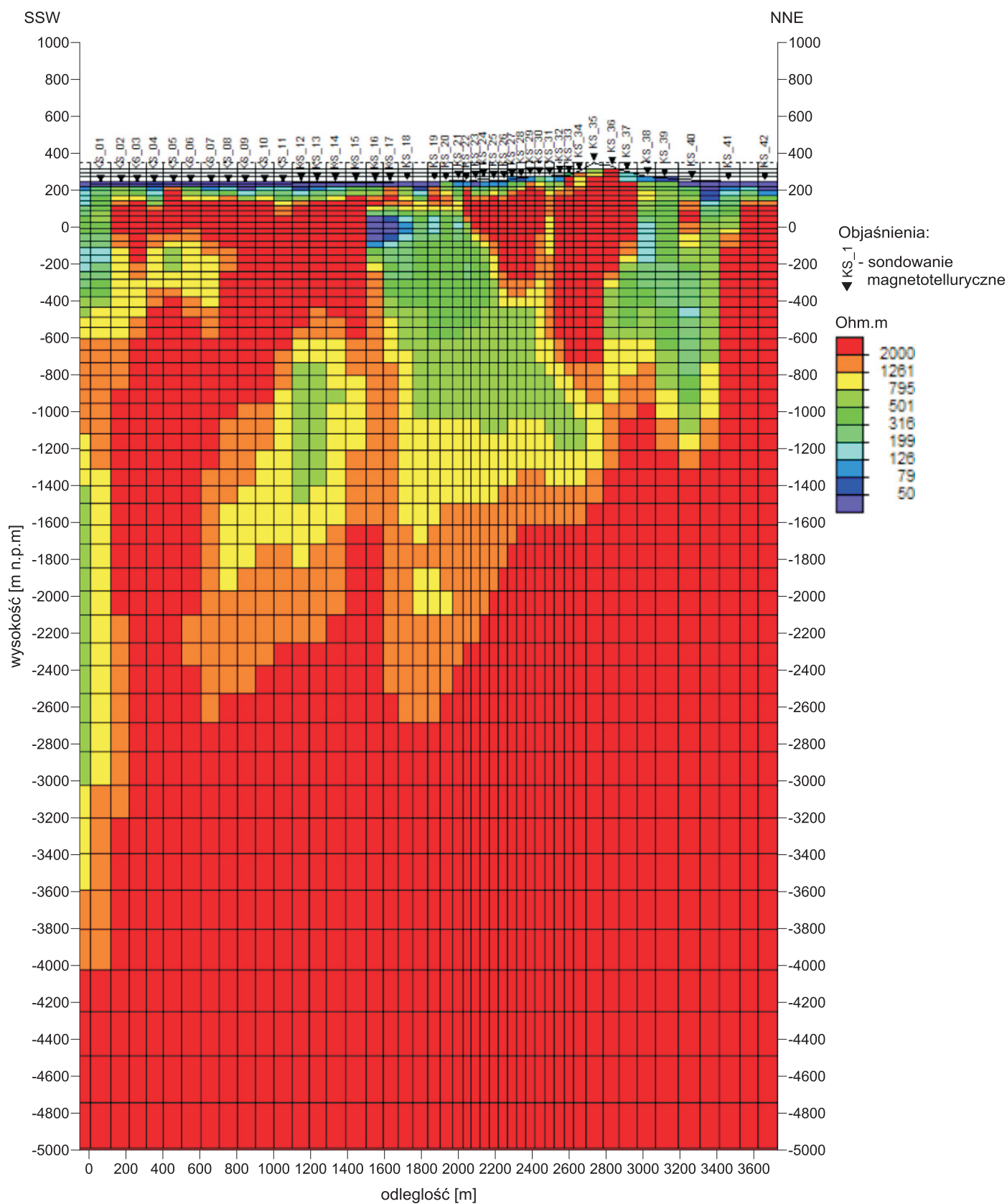


Figura 3.7.9.5j Rozkład oporności wzdłuż profilu 1-KS-18 Książnica na podstawie inwersji 2D wg algorytmu NLCG (iteracja 30)

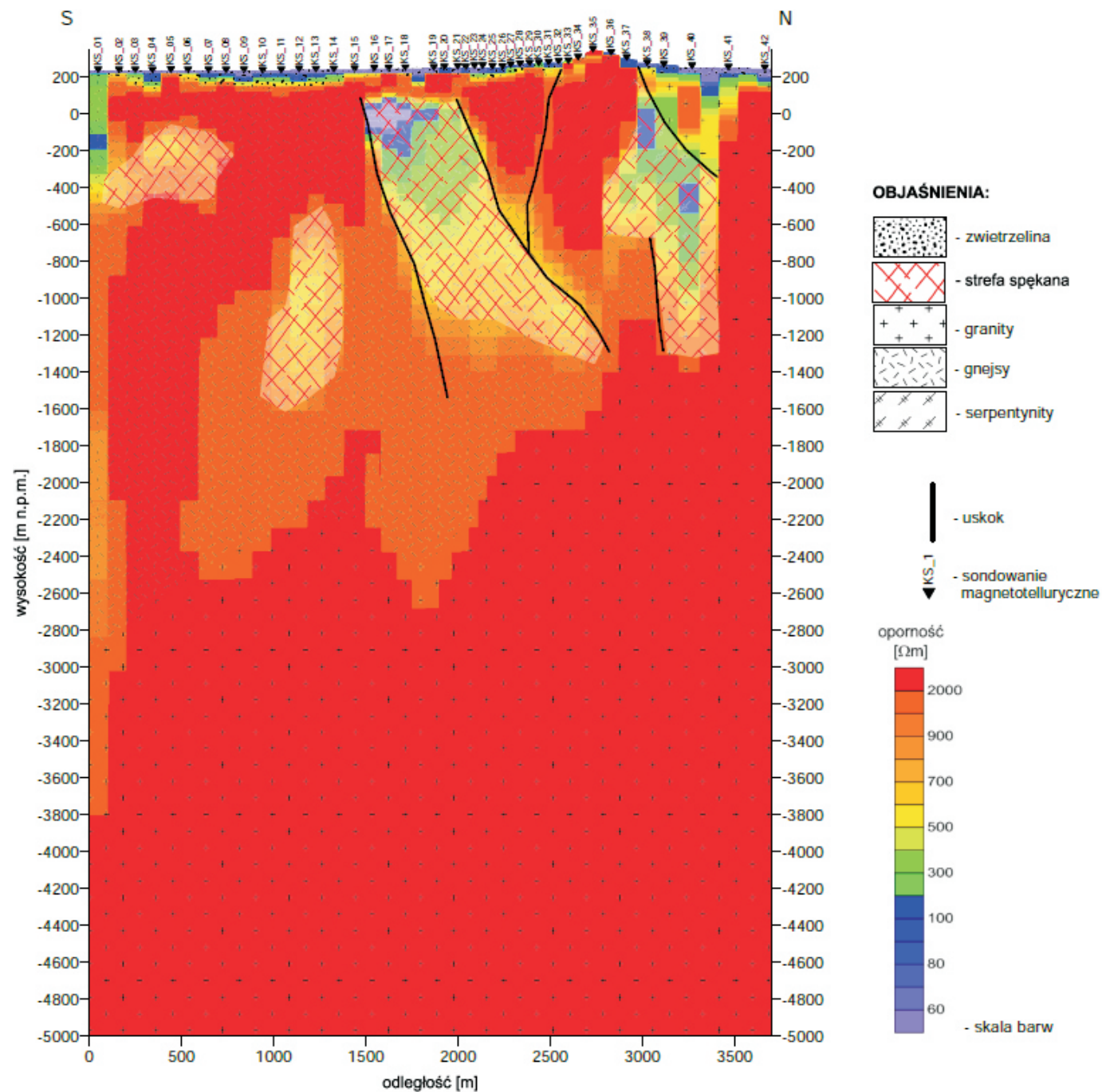


Figura 3.7.9.6. Interpretacja geologiczna wzdłuż profilu 1-KS-18 Książnica wykonana na podstawie rozkładu oporności uzyskanego w wyniku inwersji 2D wg algorytmu NLCG oraz danych geologicznych